

# СТОРІНКА МОЛОДОГО ВЧЕНОГО

УДК 520.245

## ТЕОРЕТИЧНІ АСПЕКТИ РОЗРАХУНКУ МАЛОГАБАРИТНИХ СПЕКТРОПОЛЯРИМЕТРІВ ДЛЯ ЕКОЛОГІЧНОГО МОНІТОРИНГУ АТМОСФЕРИ ЗЕМЛІ

Лоза Є. А., Патлащенко Ж. І., Абідов С.Т.

Державна екологічна академія післядипломної освіти  
та управління, вул.. Митрополита Василя Липківського, 35,  
03035, м.Київ (e-mail: Loza@bmyr.kiev.ua)

Розглянуто новий удосконалений променевий метод aberrаційного і поляризаційного розрахунку спектрополяриметрів на базі некласичних дифракційних граток із асферичними поверхнями, нерівномірним кроком нарізки, високими апertureними кутами, тощо. Метод дозволяє розраховувати і оптимізувати апаратну функцію і спектральне зображення на етапі проектування оптичної схеми монохроматора, а також розраховувати його інструментальний поляризаційний вплив і стоксметричну частину оптичної схеми. **Ключові слова:** aberracii, polarizatsia, rozrahnok, spektropoljarymetr, monitoring, atmosfera

Теоретические аспекты расчёта малогабаритных спектрополяриметров для экологического мониторинга атмосферы Земли. Лоза Е.А., Патлащенко Ж.И., Абидов С.Т. Описан новый усовершенствованный лучевой метод aberrационного и поляризационного расчёта спектрополяриметров на базе неклассических дифракционных решёток с асферическими поверхностями, неравномерным шагом нарезки, высокими апертурными углами и т.д. Метод позволяет рассчитывать и оптимизировать аппаратную функцию и спектральное изображение на этапе проектирования оптической схемы монохроматора, а также анализировать его инструментальное поляризационное влияние и стоксметрический блок оптической схемы. **Ключевые слова:** aberrации, поляризация, расчёт, спектрополяриметр, мониторинг, атмосфера.

Theory for analysis of small-size spectropolarimeters for Earth atmosphere ecological monitoring. Loza Ye.A., Patlashenko Zh.I., Abidov S.T. This paper considers a new improved raytracing method for aberration and polarization calculation of spectropolarimeters based on non-classical diffraction gratings with aspherical surfaces, non-even grating step, high aperture angles, etc. The method provides for calculation and optimization of spectral image and apparatus function during monochromator optical schema design phase, and also for analysis of instrumen-

Лоза Є.А., Патлащенко Ж.І. ...

ТЕОРЕТИЧНІ АСПЕКТИ...

tal polarization impact and Stokes-meter module performance. **Keywords:** aberrations, polarization, calculation, spectropolarimeter, monitoring, atmosphere.

В роботі представлено уточнений геометричний метод розрахунку дифракційних граток для спектрополяриметрів. Класичні aberrаційні теорії дають можливість розраховувати основні параметри оптичних схем і мінімізувати їх aberracii до 3-го, а в окремих випадках до 5-го порядків, але ці теорії нездатні мінімізувати aberracii більш високих порядків і детально описати поляризаційні ефекти [1, 2].

За допомогою нарізних граток можна легко отримати практично будь-яку густину нарізки та форму штрихів на асферичних поверхнях. Голографічні гратки мають значно менший рівень інструментального розсіяного випромінювання через відсутність спектральних порядків, що не використовуються, і меншої інтенсивності "духів" [3]. Однак у випадку складної інтерференційної картини на поверхні голограмічної гратки їх aberrаційний розрахунок також стає занадто складним за допомогою класичних алгоритмів, що стимулює створення нової елементної бази.

Останнім часом у практиці все частіше використовуються складні дифракційні елементи, які інколи називають "некласичними" дифракційними гратками. У даній роботі під "некласичними" гратками розуміють асферичні дифракційні гратки зі змінним кроком нарізки і / або складною формою штриха. Okрім цього до некласичних також слід віднести фракталльні гратки [4–6], гратки з елементами адаптивної оптики та нестационарні (активні)

гратки, наприклад, електрооптичні [7].

У малогабаритних приладах збільшення роздільної здатності можна досягнути лише шляхом використання нетрадиційних оптических схем і некласичних оптических елементів, що дозвило б суттєво зменшити aberracii оптичної системи і відкрити нові можливості формування спектрального зображення, збільшивши світlosилу за рахунок використання великих кутів падіння променів на оптичні елементи, використовувати позаосьові схеми тощо. Класична aberrаційна теорія не забезпечує необхідної точності розрахунків для таких схем і тому існує потреба у створенні нових більш універсальних методів для розрахунку aberracii.

Як відомо, для розрахунку оптических схем дифракційних монохроматорів існують три основні теоретичні напрямки.

Найбільш точний з них – це метод, який заснований на розв'язанні рівнянь Максвела. Однак через неймовірну складність і надто великі об'єми розрахунків його використання можливе лише для простих періодичних дифракційних елементів [8, 9].

Другий метод – застосування дифракційної оптики також дозволяє точно розраховувати спектральне зображення, але без урахування властивостей матеріалу оптических поверхонь, що позбавляє можливості враховувати поляризаційні ефекти в оптичній системі. Математичний апарат дифракційної оптики в загальному випадку потребує

недосяжних для сучасних комп'ютерів об'ємів розрахунків, що робить її також непридатною для роботи із некласичними оптичними елементами.

До третьої групи належать найбільш прості методи розрахунку оптичних схем, засновані на законах променевої оптики, які дозволяють описувати дифракційні елементи будь-якої складності [10]. При цьому за рахунок прив'язки до кожного променя стану його поляризації виникає можливість дослідження поляризаційних ефектів [3].

Для дослідників, інженерів та виробників необхідний максимально точний алгоритм, який дозволив би визначити параметри монохроматора будь-якої складності та керувати цими параметрами ще до його створення. Тому створення нової, більш точної теорії, дозволить не лише збільшити точність розрахункових даних і зменшити невизначеність процедури юстування, а й створювати принципово нову елементну базу і здійснювати нові конструктивні рішення.

## 1. Математична постановка задачі

Розглянемо тривимірну поверхню асферичної дифракційної гратки з штрихами довільної форми, у вершині якої розташуємо центр прямокутної Декартової системи координат  $(0;0;0)$ . Вісь  $oz$  спрямуємо вздовж дотичної до середньої точки центрального штриха гратки, а вісь  $ox$  – вздовж внутрішньої нормалі до її поверхні у вершині для фокусуючої гратки [11]. Для випадку розсіюючої гратки слід використовувати зовнішню нормаль.

За такої геометрії площа XYO називається головною меридіональною площею, а площа XOZ – головною сагітальною [12]. Однак на відміну від класичного випадку, коли набір цих двох площин однозначно характеризував усю гратку, в даній роботі розглядається окремий набір сагітальних і меридіональних площин дляожної точки на поверхні гратки залежно від локальних особливостей форми поверхні та штриха.

Для застосовності геометричної теорії оптичного випромінювання в кожній точці на поверхні гратки має виконуватися умова [13]

$$\lambda \ll e(x, y, z) \ll R(x, y, z), \quad (1)$$

де  $\lambda$  – довжина хвилі оптичного випромінювання,  $R$  – усереднений радіус кривини поверхні гратки (діаметр круга Роуланда) в околі точки  $(x, y, z)$ ,  $e$  – відстань між двома штрихами на поверхні гратки поблизу точки  $(x, y, z)$ , тобто фізичний крок наризи штрихів. Спектральний порядок дифракції позначимо через літеру  $n$ . Величини  $e(x, y, z)$  і  $R(x, y, z)$  для некласичних оптичних елементів є функціями координат на поверхні дифракційної гратки. За умови (1) функцію  $e(x, y, z)$  можна вважати неперервною.

Нехай кожен штрих є неперервною дійсною лінією. В кожній точці поверхні гратки задамо “напрям штриха”  $\vec{\tau}$ , тобто дотичну до просторової лінії штриха. Для простоти припустимо, що  $|\vec{\tau}| = 1$ . Для визначеності будемо вважати, що вектор  $\vec{\tau}$  спрямований в позитивному напрямі осі  $oz$ , тобто  $\tau_z > 0$ . У випадку складної форми штриха треба додатково ввести умову неперервності  $\vec{\tau}$  вздовж штриха, проте немає нагальної потреби розглядати цей випадок, оскільки такі

гратки є “нетехнологічними”, а їх властивості ще теоретично не усвідомлені.

## 2. Універсальна двовимірна геометрична теорія некласичних дифракційних граток

Для початку розглянемо задачу побудови спектрального зображення, що створюється в головній меридіональній площині дифракційної гратки, яка математично зводиться до знаходження точки перетину будь-яких двох променів, які вийшли з однієї точки вхідної щілини і дифрагують на різних елементах поверхні дифракційної гратки. У двовимірному випадку така задача завжди має аналітичний розв'язок, який записується у вигляді [14]:

$$x'_i = \eta_i \zeta_i \text{ та } y'_i = \zeta_i, \quad (2)$$

де

$$\sin^2 \psi_y = 1 - \frac{R(0)^2 R_x(y)^2}{[(x - R_x(y))^2 + (y - R_y(y))^2][(x - R(0))^2 + y^2]}, \quad (10)$$

а  $\theta$  задає нахил дотичної до площини поверхні дифракційної гратки відносно осі  $oy$  і визначається як  $\tan(\theta) = dx/dy$  [11].

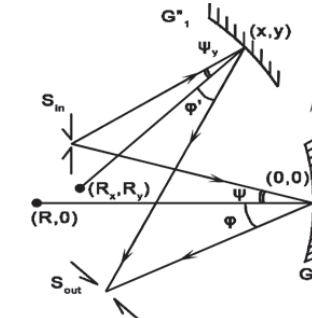


Рис. 1. Дифракція променя на різних ділянках поверхні дифракційної гратки  $G'1$  і  $G''1$ .

$$\zeta_i = y'_i = \frac{y - x\vartheta_i}{1 - \eta_i\vartheta_i}; \quad (3)$$

$$\eta'_i = \sqrt{1/\left(\frac{n\lambda_i}{e(y)} \cos \theta - \sin \psi_y\right)^2 - 1}; \quad (4)$$

$$\eta_i = \eta'_i(y = 0); \quad (5)$$

$$\vartheta_i = \frac{(R_x(y) - x) - \eta'_i(R_y(y) - y)}{(R_x(y) - x)\eta'_i + (R_y(y) - y)}, \quad (6)$$

$$\text{де } R_x(y) = x(y) + R(y) \cos \theta; \quad (7)$$

$$R_y(y) = y - R(y) \sin \theta; \quad (8)$$

$$R(y) = \frac{\left[1 + \left(\frac{dx}{dy}\right)^2\right]^{3/2}}{\frac{d^2x}{dy^2}} \quad (9)$$

де  $R(y)$  – радіус кривини поверхні в даній точці що відповідає координаті  $y$ ,  $\psi_y$  – кут падіння променя у площині дифракції (в нашому випадку – меридіональній площині) на гратку відносно нормалі до поверхні в точці падіння, який визначається через

$$R(0)^2 R_x(y)^2$$

У результаті отримуємо сукупність точок перетину будь-яких обраних пар променів, що формують просторове спектральне зображення. Після визначення аналітичної форми спектрального зображення можна проводити її оптимізацію, наприклад, з метою забезпечення “плоского поля” монохроматора. Розв'язок цієї задачі описується нейвідомим нелінійним рівнянням відносно локальної густини кроку наризи штрихів  $e(x, y, z)$  [14]:

$$\frac{\eta_2 - \eta_3}{\zeta_1} + \frac{\eta_3 - \eta_1}{\zeta_2} + \frac{\eta_1 - \eta_2}{\zeta_3} = 0 \quad (11)$$

де індекси 1, 2 і 3 відповідають трем різним довжинам хвиль із заданого спектрального діапазону.

Чисельний розв'язок рівняння (11) представлено на рис. 2.

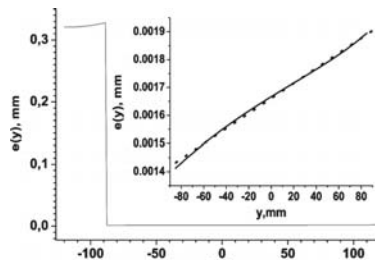


Рис. 2. Графічне представлення розв'язку рівняння (11). Класичний розгляд передбачає лінійний закон зміни кроку нарізки (позначене пунктиром).

Результат оптимізації форми "простору" найкращого фокусування для сферичної дифракційної гратки із змінним кроком нарізки представлено на рис. 3. Під простором найкращого фокусування розуміємо обмежену ділянку простору найбільш яскравого спектрального образу, тобто сукупність точок перетину всіх променів, що формують просторове спектральне зображення.

Більш детальний аналіз форми фокального простору для класичної гратки показує, що в області перекриття спектральних порядків форма абераційних спотворень також співпадає. Для некласичної дифракційної гратки фокальні простори зазнають додаткового перегину за виключенням 1-го спектрального порядку і при достатньо малих довжинах хвиль перетинаються у точці, яка відповідає зображенню, що створювалося б увігнутим

сферичним дзеркалом. У довгохвильовій частині спектру існує певна "гранична" довжина хвилі  $\lambda = e_0/n \cdot (1 + \sin \psi_y)$  для якої випромінювання дифрагує під кутом  $90^\circ$ .



Рис. 3. Просторове розташування площиноподібних просторів найкращого фокусування в різних спектральних порядках для класичної та некласичної сферичних дифракційних граток у спектральному діапазоні 200 — 350 нм. Квадрат 20x20 мм візначає масштаб.

Астигматична різниця зростає лінійно зі збільшенням довжини хвилі. За межами обраного діапазону спостерігаються два вигини площини найкращого фокусування, поблизу яких спостерігається локальне збільшення астигматичної різниці.

Оптимізована таким чином некласична гратка зі змінним кроком нарізки придатна для роботи лише в одному спектральному порядку, для якого вона розрахована. Також слід звернути увагу на те, що при цьому

на 30 — 1000% зростає астигматична різниця [14].

Виправлення абераций можна досягти за рахунок змінного кроку нарізки, який обчислюється за допомогою диференційного

$$\frac{de(y)}{dy} = \left( \left[ \left( 1 - \vartheta \frac{y}{R-x} \right) \frac{1-\eta^2}{\eta y - x} \frac{((R-x)\eta' - y)^2}{R^2} + \frac{\eta^2 - 1}{R-x} \right] \cdot \eta' \left( \frac{n\lambda}{e(y)} \cos \theta - \sin \psi_y \right)^3 - \frac{d \sin \psi_y}{dy} \right) \frac{e(y)^2}{n\lambda} - e(y) \frac{y/R^2}{\cos \theta}. \quad (13)$$

Рівняння (13) розв'язується чисельними методами [15].

Повне виправлення абераций в меридіональній площині також досягається шляхом зміни форми поверхні дифракційної гратки. Ця задача формулюється у вигляді неявного диференційного рівняння третього порядку і теоретично-отримана форма поверхні в загальному випадку навряд-чи виправдає технологічні затрати на її створення.

### 3. Універсальна тривимірна геометрична теорія некласичних дифракційних граток

Наступним кроком абераційного аналізу є тривимірна геометрична теорія, яка дозволяє будувати спектральне зображення та досліджувати і оптимізувати його характеристики. Для цього необхідно вивести закон перетворення напряму падаючого променя в певній точці на поверхні дифракційної гратки внаслідок явища дифракції та відбивання (рис. 4).

В обраній системі координат поверхня гратки задається рівнянням:

$$F(x, y, z) = 0, \quad (14)$$

Центральним поняттям тривимірної теорії є площа дифракції [12]. Для випадку

рівняння:

$$d\zeta/dy = 0, \quad (12)$$

яке можна переписати в явному вигляді [14]:

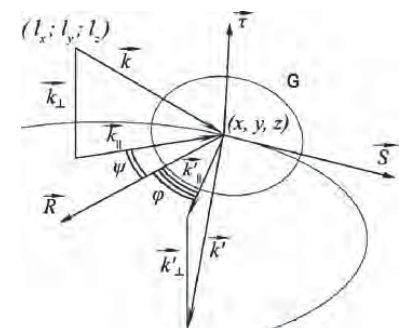


Рис. 4. Дифракція променя на гратці G. Для даного розгляду немає необхідності у позначенні розташування входних і вихідних цилін.

У результаті площину дифракції можна визначити як площину, що проходить через точку падіння променя на гратку і є перпендикулярною до напряму штриха  $\vec{r}$  в цій точці [16].

Перетин площини дифракції і поверхні гратки утворює просторову криву, радіус кривини якої  $R$  за величиною рівний діаметру круга Роуланда [17]. Таким чином в результаті ми отримуємо сукупність кругів Роуланда з різними діаметрами  $R$  і просторовою орієнтацією для кожної точки на дифракційній гратці, а також сукупність меридіональних і сагітальних площин. У такому випадку діаметр локального круга Роуланда буде дорівнювати [13]:

$$-\vec{R} = [\vec{S} \times \vec{\tau}] \cdot |\vec{S}|^2 / \vec{\tau} \cdot \vec{B},$$

де  $\vec{S}$  і  $\vec{B}$  – відповідно, дотична і бінормаль до кривої [11].

Зміна напряму падіння променя на гратку  $\vec{k}$  у напрям поширення дифрагованого променя  $\vec{k}'$  описується узагальненім рівнянням дифракційної гратки [10]

$$(\vec{k}_{\parallel})_{\vec{S}} + (\vec{k}_{\parallel}')_{\vec{S}} = n\lambda/e(x, y, z),$$

яке, за допомогою співвідношення  $\vec{k}'_{\parallel} = \hat{C}_{\varphi-\psi} \vec{k}_{\parallel}$ , де  $\hat{C}_{\varphi-\psi}$  – математична матриця повороту на кут  $\varphi - \psi$  із урахуванням правила знаків [18] навколо вектора  $\vec{\tau}$ , а  $\varphi$  – кут дифракції, дозволяє отримати складову вектора поширення дифрагованого променя в меридіональній площині і за допомогою закону дзеркального відбивання  $\vec{k}_{\perp} = \vec{k}'_{\perp}$  описує зміни напряму променя у сагітальній площині. Тоді:

$$\vec{k}' = \vec{k}'_{\parallel} + \vec{k}'_{\perp} \quad (17)$$

Для того, щоб працювати із отриманими закономірностями і

$$\vec{a} = \{x_{i,j+1} - x_{i,j-1}; y_{i,j+1} - y_{i,j-1}; z_{i,j+1} - z_{i,j-1}\} \quad (18)$$

$$\vec{r}_{i,j} = \vec{a}/|\vec{a}|. \quad (19)$$

Запропонована теорія дозволяє

формулами слід ввести чисельне представлення некласичної гратки, яке б дозволяло досить зручно змінювати локальні й глобальні параметри дифракційної гратки (форму поверхні, густину нарізки штрихів та їх просторову форму) при вирішенні задачі оптимізації спектрального зображення у вихідній площині монохроматора.

Для опису поверхні дифракційної гратки, що задається рівнянням (14), введемо спеціальну сітку робочих точок  $(y_{i,j}; z_{i,j})$  (рис. 5), а також зв'язану з ними координату  $x_{i,j} = x(y_{i,j}; z_{i,j})$ . Тоді сукупність  $(x_{i,j}, y_{i,j}; z_{i,j})$  задають точки на поверхні гратки, нульове наближення для яких визначається із спрощеного розгляду Нехай між кожними двома вузлами сітки по осі  $oy$  знаходиться однакова кількість штрихів гратки  $N$ ,

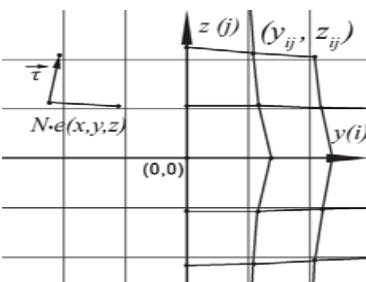
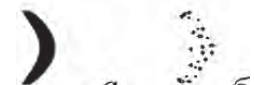


Рис. 5. Сітка робочих точок на поверхні гратки, вибраних для розрахунків.

тоді напрям штриха буде визначатися як:

Рис. 6. ілюструє порівняння результатів наших розрахунків із даними, опублікованими відомою фірмою Richardson Grating Laboratory. Як свідчить рис. 6(б), дані дають досить грубе уявлення про властивості спектрального зображення реальних промислових зразків граток. Проте вони використовуються для серійного виробництва оптических дифракційних граток. Як видно з рис. 6(а), розраховані за представленою в даній роботі методикою дані значно детальніші й більш точно та адекватно відображають спектральне зображення вхідної щілини, що відкриває принципово нові можливості для його аналізу і оптимізації (рис. 7).



а



б

Рис. 6. Спектральне зображення: а – розраховане для 4 спектрального порядку сферичної дифракційної гратки 600 штр/мм на довжині хвилі 300 нм; б – спектральне зображення розраховане Richardson Grating Laboratory. [3]

Як видно з рис. 7, запропонований нами алгоритм дає можливість розраховувати і на основі цих розрахунків керувати якістю отриманого спектрального зображення ще до технологічного етапу виготовлення граток.



а



б

Рис. 7. Спектральне зображення, розраховане: а – для сферичної дифракційної гратки 600 штр/мм на довжині хвилі 350 нм; б – спектральне зображення для тієї самої довжини хвилі після оптимізації положення площини вихідних щілин (масштаб зображення зменшено)

Далі, на основі результатів розрахунків можна побудувати апаратну функцію монохроматора та дослідити і оптимізувати її параметри (рис. 8).

Для зменшення інтенсивності абераций традиційно застосовується метод зменшення кутів падіння променів на гратку, що можна зробити за допомогою застосування відповідних діафрагм. Наши дослідження показали, що застосування еліптичних діафрагм суміщених з поверхнею гратки дає незначне збільшення якості зображення – приблизно 2%, однак при цьому відбувається суттєва втрата світlosti – до 12%. Тому, не зважаючи на візуально значно більш “красиву” форму вихідного спектрального зображення, таке технологічне рішення саме по собі не є доцільним.

Запропонований нами метод дає можливість точно розраховувати апаратну функцію і для вищих спектральних порядків (рис. 9), що було неможливо виконати за допомогою класичних абераційних розрахунків [3]. Наприклад, для розрахованого зображення щілини, яке представлене на рис. 6, розрахунки апаратної функції для 4 порядку (рис. 9) показують асиметрію апаратної функції.

Окремі розрахунки спектральних зображень для випадку кривих вхідних щілин, які застосовуються для виправлення кривини спектрального зображення вхідної щілини для високих спектральних порядків, показують недоцільність такого технологічного прийому через суттєве збільшення середньої ширини апаратної функції.

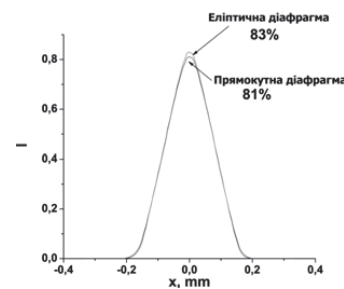


Рис. 8. Порівняння теоретичних нормованих апаратних функцій для чотирикутної та еліптичної діафрагм суміщених з поверхнею гратки для 1 спектрального порядку

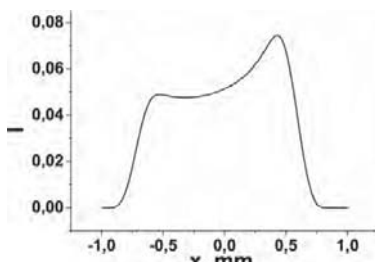


Рис. 9. Асиметрія апаратної функції для 4 спектрального порядку сферичної дифракційної гратки 600 штр./мм на довжині хвилі 300 нм після оптимізації положення площини вихідних щілин

Представлена в даній роботі тривимірна геометрична аберраційна теорія дифракційних граток, на відміну від класичного методу аберраційних розрахунків, придатна і для великих розмірів штрихованих поверхонь дифракційних граток, тобто для великих кутів падіння променів, а також для змінного кроку нарізки, непінійної форми штриха, складної асферичної поверхні дифракційної гратки та для елементів адаптивної оптики. Крім того запропонованій алгоритм дозволяє будувати та чисельно оптимізувати спектральні

зображення та апаратні функції ще на етапі теоретичних розрахунків.

Розроблена теорія не враховує форму поверхні кожного окремого штриха, однак це може бути легко враховане за рахунок використання класичних методів енергетичного розрахунку, окрім застосованих для кожної локальної ділянки поверхні гратки, тобто кожного окремого променя.

#### 4. Особливості застосування аберраційного методу для розрахунку поляризаційно-селективних систем

Сучасна спектрометрія обмежена для вирішення багатьох нових прикладних фізичних задач через неповноту отриманої спектрометричної інформації – в результаті вимірювання отримується лише перший параметр Стокса, тобто інтенсивність. Тому тенденції сучасної спектрометрії розвиваються в напрямку розробки спектрополяриметричних приладів, які дозволяють вимірювати 2 і більше параметрів Стокса для різних довжин хвиль [19].

Для схем спектрополяриметрів необхідно точно розраховувати поляризаційний вплив елементів в оптичному тракті монохроматора на досліджене випромінювання. Неврахування паразитної інструментальної поляризації за деяких умов призводить до похибок, що іноді сягають 70% дослідженової величини [20]. Існують методи нейтралізації поляризаційного впливу за рахунок симетризації подвійних монохроматорів і введення додаткових поляризаційних

та деполяризаційних елементів [20].

Однак використання для цього випадку наших алгоритмів дозволить не лише досліджувати поляризаційний вплив оптических елементів монохроматора і керувати ним ще до створення експериментального лабораторного зразка, але й свідомо використовувати його для створення наперед заданого стану поляризації на вихіді монохроматора, що призведе до зменшення кількості оптических елементів для практичної реалізації стокс-метричного блоку.

Для цього кожному геометричному променю, що проходить через вхідну щілину монохроматора, приписується наперед заданий вектор Стокса, а кожному оптичному елементу в оптичному тракті монохроматора – відповідні матриці Мюллера, які можна отримати експериментально для відомих матеріалів і структур оптичних поверхонь. Тоді в результаті розрахунків можна отримати не лише поляризаційний вплив монохроматора для різних довжин хвиль, а навіть розподіл поляризації в результатуючому зображені і відповідні функції для обробки отриманого оптичного сигналу з метою якомога точнішого відтворення параметрів вхідного сигналу. Вихідчи з того, що такі функції будуть отримані з високою точністю, відтворити вхідний стан поляризації можна за рахунок оберненого перетворення і відпадає необхідність повного розділення параметрів Стокса, а отже, дає можливість зменшити кількості вимірювальних каналів.

Крім того, система може бути розрахована для адаптивного

поляризаційного впливу на різні ділянки оптичного зображення у вихідній площині для набору робочих довжин хвиль, що дасть можливість використовувати навіть статичних магніто- і електрооптичні елементи для формування необхідної поляризації. Більше того, в таких приладах можна реалізовувати перемикання режимів вимірювання різної кількості параметрів Стокса, що дасть можливість гнучкого досягнення балансу між кількістю і якістю отриманої інформації в різних умовах спостереження.

#### Висновки

Запропонована нова універсальна математично-сурова геометрична аберраційна теорія некласичних фокусуючих дифракційних граток придатна в межах застосовності геометричної оптики для розрахунків некласичних оптических елементів із асферичними поверхнями, змінним кроком нарізки, криволінійними штрихами, елементами адаптивної оптики, а також для великих кутів падіння оптичних променів на гратку тощо.

Розроблений алгоритм дозволяє на етапі аберраційних розрахунків монохроматора точно розраховувати і оптимізувати якість спектрального зображення згідно з вихідними, наперед заданими технічними вимогами фізичної задачі, що вирішується. Велика складність кінцевих робочих формул навіть для одинарних монохроматорів вимагає виключно чисельної реалізації алгоритму.

Інженерно-фізичні задачі мінімізації оптических аберрацій і ефективного використання потоків

випромінювання приводять до неявних алгебраїчних та диференційних рівнянь і дають змогу чисельно розраховувати 2-х та 3-х вимірні просторові спектральні зображення, обчислювати класичні та багатовимірні апаратні функції.

Запропонована чисельна модель некласичної дифракційної гратки дозволяє математично управліти формою поверхні, задавати густину та форму штрихів з метою оптимізації якості спектрального зображення відповідно до заданої

цільової функції (функціонал аберрацій, кривина фокальної поверхні та ін.), а також розробляти і моделювати принципово нові оптичні елементи і схеми.

У межах універсальної теорії розроблений алгоритм для високоточного і деталізованого поляризаційного розрахунку оптичних схем монохроматорів, спектрополяриметрів та принципово нових приладів для вимірювання 2-х і більше параметрів Стокса.

## Література

- Shin Masui and Takeshi Namioka JOSA A, Vol. 16, issue 9, pp. 2253-2268 doi:10.1364/JOSAA.16.002253
- J. F. Seely, R. G. Crudace, M. P. Kowalski, W. R. Hunter, T. W. Barbee, Jr., J. C. Rife, R. Eby, and K. G. Stolt Applied Optics, Vol. 34, issue 31, pp. 7347-7354 doi:10.1364/AO.34.007347
- Christopher Palmer, Erwin Loewen Thermo RGL; sixth edition, 2005, 265P
- Dongsu Bak, Sang Pyo Kim, Sung Ku Kim, Kwang-Sup Soh, Jae Hyung Yee arXiv:physics/9802007
- D. Rodriguez Merlo, J. A. Rodrigo Martin-Romo, T. Alieva and M. L. Calvo Optics and Spectroscopy, Volume 95, Number 1 / July, 2003, P.131-133, DOI 10.1134/1.1595227
- C. Aguirre Veleza, M. Lehmana and M. Garavaglia Optik - International Journal for Light and Electron Optics, Volume 112, issue 5, 2001, Pages 209-217, doi:10.1078/0030-4026-00038
- J. Chen, P. J. Bos, H. Vithana, and D. L. Johnson Appl. Phys. Lett. 67, 2588 (1995); doi:10.1063/1.115140
- LiN Albert, PHILLIPS Jamie Solar energy materials and solar cells ISSN 0927-0248 2008, vol. 92, no12, pp. 1689-1696
- Eero Noponen Dissertation for the degree of Doctor of Technology to be presented with due permission for public examination and debate in Auditorium F1 at Helsinki University of Technology (Espoo, Finland) on the 15th of April, 1994, at 12 o'clock noon. Espoo 1994
- Вашенко В.М., Лоза Є.А., Патлащенко Ж.І., Банников О.О., Черниш О.С. Вісник Київського університету, серія: фізико-математичні науки. - 2005 - №4 - С.430-440.
- Бронштейн Н.Н., Семендяєв К.А. Государственное издательство технико-теоретической литературы, Москва, 1953г - 608с.
- Зайдель А.Н., Островская Г.В., Островский Ю.И. Москва, Наука, 1976, 375с
- М.Борн, Э.Вольф М:Наука, 1973, 721с.
- Вашенко В.М., Лоза Є.А., Патлащенко Ж.І. Вісник Київського університету, серія: фізико-математичні науки. - 2008 - №4 - С.245-251.
- Калиткин Н.Н. Москва, Наука, 1978, 508с.
- Вашенко В.М., Лоза Є.А., Патлащенко Ж.І. Вісник Київського університету, серія: фізико-математичні науки. - 2009 - №2 - С.235-242.
- Корн Г., Корн Т. Іздательство Наука, Москва, 1973, 831 с.
- Одарич В.А. Київ, видавничо-поліграфічний центр Київський університет, 2001, 220 с.
- Vaschenko V., Patlashenko Zh., Chernysh E. Semiconductor physics. Quantum electronics and optoelectronics - 2004 - vol.7 №1 - P.105-107.
- Vaschenko V.N., Loza A.I., Patlashenko J.I. Proceedings of SPIE - 1997 - vol. 3237 - P.31-42.

УДК 551.131: 504.06

## ЕКОЛОГІЧНА БЕЗПЕКА ПРОМИСЛОВО-МІСЬКИХ АГЛОМЕРАЦІЙ У ЗВ'ЯЗКУ З РОЗВИТКОМ ЗСУВНОГО ПРОЦЕСУ (НА ПРИКЛАДІ М. КИЄВА)

Рудько Г.І., Нецький О.В.

Державна комісія України по запасах корисних копалин, м. Київ, вул.. Кутузова, 18/7, 01133, e-mail: office@dkv.ua

Бондар М.О., Патлащенко Ж.І.

Державна екологічна академія післядипломної освіти та управління Мінприроди України м. Київ, вул.. Митрополита Василя Липківського, 35, 03035, e-mail: dei2005@ukr.net

Зростаюче техногенне навантаження на геологічне середовище та його компоненти в межах промислово-міських агломерацій зумовлене збільшення кількості ситуацій, коли техногенний чинник у межах системи "людина – геологічне середовище" стає домінуючим. При цьому відбувається руйнація зв'язків, що забезпечують екологічну рівновагу в техноприродних геосистемах, погіршується екологічний стан, підсилюється розвиток небезпечних геологічних процесів. Досліджено закономірності розвитку зсувного процесу в межах м. Києва як чинника екологічної безпеки, зазначені заходи щодо запобігання розвитку зсувного процесу. **Ключові слова:** зсув, ґрунт, придніпровська зона, екологічна безпека, протизсувні заходи.

**Экологическая безопасность промышленно-городских агломераций в связи с развитием оползневых процессов О.В. Нецкий, М.А. Бондар, Г.И. Рудько (на примере г.Киева).** Возрастающая техногенная нагрузка на геологическую среду и её компоненты в пределах промышленно-городских агломераций приводит к увеличению числа ситуаций, когда техногенный фактор в рамках системы "человек - геологическая среда" становится доминирующим. При этом, происходит разрушение связей, обеспечивающих экологическое равновесие в техноприродных геосистемах, ухудшается экологическое состояние, усиливается развитие опасных геологических процессов. Исследованы закономерности развития оползневого процесса в пределах г. Киева как фактора экологической безопасности, указаны меры по предотвращению развития оползневого процесса. **Ключевые слова:** оползень, грунт, приднепровская зона, экологическая безопасность, противооползневые мероприятия.

**Landslide environmental safety of industrial and city areas (on example of Kyiv) Rudko G., Netsko O., Bondar M.** The anthropogenic impact on geological environment and its components in industrial and city areas is constantly increasing. This leads to situations where technological factor in the system "human-geological environment" becomes dominant. Consequently leading to ruination of junctions providing for environmental stability in technological-and-natural geological environments, ecological state worsening, amplification of hazardous geological processes. Considers peculiarities of landslide processes in Kyiv area as a factor of environmental safety. The landslide countermeasures are discussed. **Keywords:** landslide, soil, Dnipro region, environmental safety, landslide countermeasures